

Ученые записки Таврического национального университета им. В. И. Вернадского
Серия «География» Том 16 (55) №1 (2003) 111-116.

УДК 55(262.5):574.5

ЭКОЛОГО-ГЕОЛОГИЧЕСКИЕ ИССЛЕДОВАНИЯ В РАЙОНАХ ПЕРСПЕКТИВНОГО ПРОМЫШЛЕННОГО ОСВОЕНИЯ НА УКРАИНСКОМ ШЕЛЬФЕ ЧЕРНОГО МОРЯ

Сторчак О.В., Мишенина Т.А., Никулин В.В.

Данная работа написана по результатам исследования проб донных отложений, отобранных с борта НИС Одесского госуниверситета “Мечников” с помощью вибропоршневой трубы в районах локальных тектонических поднятий “Съездовское”, “Молодежное” и “Днестровское”, расположенных на северо-западном шельфе Черного моря.

В структурно-тектоническом отношении антиклинальные поднятия расположены на краю северо-восточного выступа Вилковского блока Килийско-Змеиноостровского поднятия, вблизи его границы с Крыловской впадиной Придубруджинского прогиба (рис. 1).

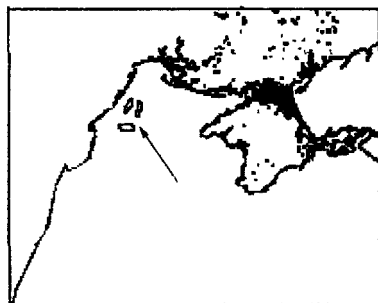


Рис. 1. Схема расположения районов работ

Полевые исследования на этих структурах проводились по профилям, простирающимся с юго-востока на юго-запад, скважины вибропоршневого бурения располагались по сетке с шагом 1 км.

Из керна отбирались две пробы: с поверхности дна и с глубины около 1 м. Дегазация проб осуществлялась непосредственно на борту судна после 12 часового отстоя герметически запакованной пробы, чем достигалось динамическое и температурное равновесие. Определение газового состава проводилось в наземных

условиях на газовом хроматографе “Цвет” с использованием стандартов. Концентрация металлов в пробах определялась на серийном атомно-абсорбционном приборе “AAS-1” с помощью эталонных ламп. Концентрации остальных соединений и элементов в осадках определялись стандартными методами.

Структуры “Съездовская”, “Молодежная”, и “Днестровская” рассматриваются на современном этапе как перспективные для постановки буровых платформ и проведения разведочного бурения на нефть и газ. В перспективе здесь резко возрастут техногенные нагрузки на верхний слой донных илов [1].

В связи с этим возникала необходимость зафиксировать природное состояние донных осадков данных районов перед этапом их интенсивного промышленного освоения.

Для выяснения поведения элементов–токсикантов в процессе диагенеза и вариаций их концентраций в современных осадках была выполнена статистическая обработка лабораторных данных и проведен факторный анализ методом главных компонент.

На структуре “Съездовской” [2] значимые положительные коэффициенты корреляции связывают карбонатную часть осадков в верхней пробе с таким элементом как Cu ($R_k = 0,71$). В свою очередь Cu имеет положительные значимые связи с Ni ($R_k = 0,9$) и Co ($R_k = 0,89$), т.е. можно выделить группу элементов захороненных в карбонатных осадках раковин моллюсков и планктонных фораминифер, которые концентрировали эти элементы из морской воды в процессе своей жизнедеятельности. Вероятно, опосредованно, эти элементы в осадке можно отнести к гидрогенным.

Наиболее высокий отрицательный коэффициент корреляции у CaCO_3 с Pb ($R_k = -0,25$) и Mn ($R_k = -0,27$).

Сумма тяжелых углеводородов связана положительными значимыми связями с Zn ($R_k = 0,78$) и Co ($R_k = 0,72$), через посредничество которого они связываются с элементами группы карбонатов.

Совершенно иная картина наблюдается уже в частично восстановительной зоне донных осадков по второй пробе (нижняя проба) на глубине около 1 м от поверхности дна. Здесь, значимую положительную связь с карбонатами имеет только Mn ($R_k = 0,4$). Гораздо большее значение, чем в верхней пробе начинают играть глинистые минералы, роль которых выражается содержанием калия. Он связан значимыми коэффициентами корреляции с Cu ($R_k = 0,59$), Ni ($R_k = 0,53$), Co ($R_k = 0,34$). Cu значимым коэффициентом корреляции связан с Zn и Hg ($R_k = 0,33$), а он, в свою очередь, тесно связан с такими элементами–токсикантами как Pb ($R_k = 0,56$), Ni ($R_k = 0,59$), Co ($R_k = 0,55$). Особняком выделяется значимая связь Zn и Hg ($R_k = 0,37$). Вероятно, весь этот комплекс элементов сорбируется с глинистой составляющей осадка и зависит от особенностей процесса диагенеза на начальном этапе [3].

На структуре “Молодежной”, в частично восстановительной зоне донных осадков по второй пробе (нижняя проба) на глубине около 1 м от поверхности дна отмечается значимая положительная связь Mg с Pb ($R_k = 0,78$), Ni ($R_k = 0,86$) и Mn ($R_k = 0,87$), а

Сорг с Ni ($R_k = 0,92$), K ($R_k = 0,79$) и Mg ($R_k = 0,83$). Сумма тяжелых углеводородов связана положительными значимыми связями с CaCO_3 ($R_k = 0,73$), CO_2 ($R_k = 0,73$) и C ($R_k = 0,73$).

На структуре “Днестровской” высокие положительные значимые коэффициенты корреляции связывают в верхней пробе практически все металлы (Mn, Pb, Cu, Ni, Co, Zn). Эта группа элементов находится в антагонистической позиции ($R_k = -0,37$) с карбонатной составляющей осадка. Наиболее близкое корреляционное положение CaCO_3 связывает со свинцом ($R_k = 0,17$), а с никелем у него значимая отрицательная связь ($R_k = -0,36$). Незначимые отрицательные величины коэффициента корреляции наблюдаются у группы металлов и Сорг. Тесно связанную генетическую группу составляют газообразные углеводороды и ΣTU .

В нижней пробе значимые коэффициенты корреляции связывают Ca, Pb, Zn, Mg, Mn, которые образуют группу Mn. Со связывают значимые положительные коэффициенты корреляции с Ni, K и они образуют группу Co. Группа Mn находится в отрицательной связи с Сорг., а группа Co – с CaCO_3 . Гораздо большее значение, чем в верхней пробе, начинают играть глинистые минералы, роль которых выражается содержанием такого элемента как K. Он связан значимыми коэффициентами корреляции с Co ($R_k = 0,83$), Ni ($R_k = 0,75$), Pb ($R_k = 0,48$). Вероятно, весь этот комплекс элементов сорбируется глинистой составляющей осадка и зависит от особенностей процесса диагенеза на начальном этапе.

Более детально рассмотреть генетическую группировку химических элементов и соединений позволяет анализ факторных нагрузок, полученных методом принципиальных компонент.

В осадках верхней пробы структуры “Съездовская” наибольший вес имеет первый фактор (табл. 1), который, вероятно, отражает роль сорбционного захвата в процессе осадконакопления и показывает сходство поведения в этом процессе углеводородов и металлов (кроме Pb и Mn). Фактор 2 несет меньшую нагрузку, чем фактор 1, отражает роль биогенных карбонатов и их связь с такими элементами как Cu. Третий фактор характеризует антагонистическое поведение и влияние O_2 и N_2 . В нижней пробе меняется конфигурация нагрузок: по первому фактору резко дифференцируется поведение группы металлов (кроме Mn) и K с углеводородами и биогенными карбонатами. Фактор 2 показывает различность поведения углеводородов и карбонатов в области его нагрузок. Третий фактор так же указывает на противоположность влияния O_2 и N_2 .

По нагрузкам факторов в верхней пробе на структуре “Молодежная” (табл.2), сделать какие-либо выводы затруднительно в связи с отсутствием определений концентраций элементов, можно только отметить антагонизм поведения углеводородов и азота. По нижней пробе, суммарные нагрузки наибольшие по первому фактору, они показывают антагонистическое поведение карбонатной составляющей осадка и металлов, характеризуют сорбционную связь металлов с K. По второму фактору

Таблица 1

*Значение факторных нагрузок (по методу принципиальных компонент)
в осадках структуры "Съездовская" (n = 22)*

Верхняя проба				Нижняя проба			
	Фактор 1	Фактор 2	Фактор 3		Фактор 1	Фактор 2	Фактор 3
C ₂ H ₆	0,8448	0,458887	-0,11724	C ₂ H ₆	-0,24986	0,489023	-0,23511
C ₂ H ₄	0,85929	0,394673	-0,2182	C ₂ H ₄	-0,29135	0,646831	-0,44303
C ₃ H ₈	0,77424	0,544075	-0,08935	C ₃ H ₈	-0,53515	0,404336	-0,18846
C ₃ H ₆	0,81554	0,366612	-0,30241	C ₃ H ₆	-0,29184	0,75049	0,043944
O ₂	0,594471	-0,40519	-0,67567	O ₂	-0,05132	-0,29551	0,668537
N ₂	-0,51441	0,488031	0,619738	N ₂	0,045808	0,209222	-0,58696
ΣТУ	0,90089	0,24073	-0,27502	ΣТУ	-0,26223	0,76236	0,016698
CaCO ₃	0,44591	-0,8422	0,171976	CaCO ₃	-0,8753	-0,02253	0,267856
CO ₂	0,432198	-0,7728	0,272362	CO ₂	-0,8592	-0,01617	0,28398
C	0,445698	-0,8426	0,172572	C	-0,8747	-0,02273	0,268949
Copr	0,259051	0,177936	0,142947	Copr	0,052839	-0,2353	-0,31398
Pb	0,44488	0,600387	0,229983	Hg	0,144462	-0,09263	0,43745
Zn	0,9191	-0,0709	0,266577	Pb	0,692981	0,37785	0,265331
Cu	0,87418	-0,34058	0,223601	Zn	0,515601	0,260505	0,250649
Ni	0,87716	-0,14528	0,421825	Cu	0,245319	-0,25456	-0,1372
Co	0,8276	-0,14841	0,249116	Ni	0,76085	0,480473	0,188027
Mn	0,308896	0,689819	0,46375	Co	0,75877	0,355988	0,017212
Вес фактора	8,154227	4,305773	1,860009	Mn	-0,53074	0,230298	0,124926
				K	0,623566	0,217031	0,239775
				Na	-0,15723	0,404406	0,187742
				Mg	-0,05402	0,469965	0,60026
				Вес фактора	5,54462	3,279347	2,251774

*Здесь и далее жирным шрифтом показаны значимые нагрузки

связываются Mg, Mn и Pb в противовес практически всем другим компонентам. Третий фактор указывает на связь сорбционной емкости глинистой составляющей осадка и углеводородов.

В осадках структуры "Днестровская" по первому фактору отражается противоположность поведение карбонатной составляющей осадка с одной стороны, металлов и углеводородов с другой (табл. 3). По второму фактору, можно выделить две антагонистические группировки элементов и соединений, а именно: углеводороды и металлы. А по третьему фактору прослеживается генетическая связь CaCO₃ с Pb. По нижней пробе наибольшую нагрузку несет первый фактор, который отражает связь K с группой тяжелых металлов и углеводородов, а органогенный карбонат находится в антагонистической группировке. Вес второго фактора также значителен и характеризует дифференциацию поведения тяжелых и легких углеводородов, различность поведения Pb, Zn, Cu в противовес Ni и Co, связанным с глинистой частью осадка. По третьему фактору ведущую роль играет поведение азота, его влияния на среду осадконакопления.

Таблица 2

Значения факторных нагрузок (по методу принципиальных компонент) в осадках структуры "Молодежная" ($n = 35$)

Верхняя проба				Нижняя проба			
	Фактор 1	Фактор 2	Фактор 3		Фактор 1	Фактор 2	Фактор 3
CH ₄	-0,55378	-0,7629	-0,06083	CH ₄	-0,54315	-0,10135	-0,61672
C ₂ H ₆	-0,7205	0,225892	-0,58457	C ₂ H ₆	0,050682	0,415346	-0,7876
C ₂ H ₄	-0,7078	0,642276	0,081519	C ₂ H ₄	0,72035	-0,17895	-0,20057
C ₃ H ₈	-0,49176	0,363021	0,742	C ₃ H ₈	-0,09204	0,123843	-0,66707
C ₃ H ₆	-0,21503	0,83932	-0,45178	C ₃ H ₆	0,80519	-0,34608	-0,03453
O ₂	-0,69821	-0,66309	-0,02701	O ₂	-0,51695	-0,2072	-0,60614
N ₂	0,83227	0,493391	0,049532	N ₂	0,489252	0,355775	0,250977
ΣТУ	-0,7754	0,412307	0,244385	ΣТУ	0,73287	-0,27283	-0,31589
Вес фактора	3,396226	2,734882	1,169645	CaCO ₃	0,80882	-0,58188	0,020246
				CO ₂	0,80753	-0,58366	0,020468
				C	0,81068	-0,57941	0,020173
				Cорг	-0,60732	-0,6762	0,400741
				Hg	-0,69774	0,024516	-0,21007
				Pb	-0,13226	-0,9052	-0,24277
				Zn	-0,56117	0,284689	0,456671
				Cu	-0,47261	-0,50676	0,216886
				Ni	-0,7878	-0,57897	0,161315
				Co	-0,41593	-0,10483	-0,7528
				Mn	-0,31463	-0,7752	-0,45943
				K	-0,35808	-0,30207	0,84272
				Na	0,94123	-0,13838	-0,03539
				Mg	-0,40476	-0,8863	0,024854
				Вес фактора	7,962526	5,067048	4,053489

Таблица 3

Значения факторных нагрузок (по методу принципиальных компонент) в осадках структуры "Днестровская" ($n = 72$)

Верхняя проба				Нижняя проба			
	Фактор 1	Фактор 2	Фактор 3		Фактор 1	Фактор 2	Фактор 3
CH ₄	0,127524	-0,39212	-0,03927	CH ₄	-0,01945	0,561983	0,624373
C ₂ H ₆	0,561453	-0,7554	0,035422	C ₂ H ₆	-0,25179	0,3465	-0,7434
C ₂ H ₄	0,623331	-0,53282	0,348866	C ₂ H ₄	-0,2831	0,772	-0,07583
C ₃ H ₈	0,308013	-0,63478	-0,16846	C ₃ H ₈	-0,7872	-0,56906	0,07702
C ₃ H ₆	0,638474	-0,64095	0,192442	C ₃ H ₆	0,35854	-0,16399	0,346969
O ₂	-0,11875	-0,20957	-0,11506	O ₂	0,496646	-0,67621	0,272838
N ₂	-0,19151	0,186992	0,190949	N ₂	-0,19287	-0,00191	0,8571
ΣТУ	0,619033	-0,58167	0,340599	ΣТУ	-0,7567	-0,6142	0,024237
CaCO ₃	-0,69174	-0,24087	0,625825	CaCO ₃	0,85005	0,435373	-0,18072
CO ₂	-0,7421	-0,2573	0,590204	CO ₂	0,84406	0,498724	-0,13176
C	-0,7421	-0,25646	0,591129	C	0,85065	0,43132	-0,17702
Cорг	-0,23162	0,26399	-0,25939	Cорг	0,380496	-0,8943	0,015845
Pb	0,124716	0,452232	0,619319	Hg	-0,5203	-0,7913	0,075789
Zn	0,504925	0,456144	0,099854	Pb	-0,8522	0,349379	-0,02912
Cu	0,448047	0,428602	0,077196	Zn	-0,7148	0,668986	-0,00237
Ni	0,635614	0,54026	0,307635	Cu	-0,64981	0,74554	0,103238
Co	0,69878	0,449559	0,309515	Ni	-0,9457	-0,00092	-0,31294
Mn	0,372886	0,42622	0,49403	Co	-0,8859	-0,23508	-0,33722
Вес фактора	4,792805	3,77082	2,346327	Mn	-0,2047	0,97251	-0,02214
				K	-0,7865	-0,25992	0,117615
				Na	-0,3301	0,603127	0,648066
				Mg	-0,19226	0,96825	0,080931
				Вес фактора	8,467748	7,76278	2,635639

Таким образом, на основании изучения статистических характеристик донных отложений ряда локальных тектонических структур, установлены парагенетические ассоциации ряда элементов и параметров среды осадконакопления, как в окисленных, так и в слабовосстановленных отложениях.

Список литературы

1. Сторчак О.В., Никулин В.В., Какаранза С.Д. Эколого-геологическая оценка донных отложений локального тектонического поднятия “Съездовское” (северо-западный шельф Черного моря) // Екологічні проблеми Чорного моря. – Одеса: ОЦНТЕІ. – 2001. – С. 303-308.
2. Сторчак О.В., Никулин В.В., Федорончук Н.А. Геолого-экологическая оценка донных отложений поднятия “Съездовское” (северо-западный шельф Черного моря) // Тез. конф. молодых ученых 18-20 сент. 2001 г. “Проблемы экологии Азово-Черноморского бассейна: современное состояние и прогноз”. – Севастополь. – С. 98-99.
3. Сторчак О.В., Нікулін В.В. Дослідження еколого-геологічних умов утворення донних відкладів та водної товщі авандельти р. Дунай // Молодь у вирішенні регіональних та транскордонних екологічних проблем. – Чернівці. – 2002. – С. 55-59.

Статья поступила в редакцию 20.01.2003 г.